

+2.7V、低電力、2チャンネル、108ksps シリアル12ビットADC、8ピン μ MAXパッケージ

概要

MAX144/MAX145は低電力12ビットA/Dコンバータ(ADC)です。パッケージは8ピン μ MAX及びDIPが用意されています。いずれも+2.7V~+5.25V単一電源で動作し、7.4 μ sの逐次比較ADC、自動パワーダウン、高速ウェイクアップ(2.5 μ s)、内蔵クロック及び高速3線シリアルインタフェースを備えています。

最大サンプリングレート108kspsにおける消費電力は僅か3.2mW($V_{DD}=+3.6V$)です。低スループットレートにおいては、自動シャットダウン(0.2 μ A)によってさらに消費電力を低減しています。

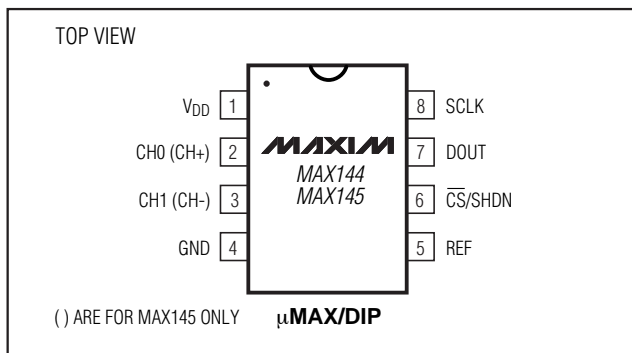
MAX144は2チャンネルのシングルエンド動作で、0~ V_{REF} の入力信号を許容します。MAX145は0~ V_{REF} の疑似差動入力を許容します。外部クロックが3線インタフェースからデータにアクセスします。このインタフェースは、SPI™、QSPI™及びMICROWIRE™とコンパチブルです。

本製品は、優れた動的性能及び低電力特性に加え、パッケージが小型で使いやすく、バッテリー駆動及びデータ収集アプリケーション、あるいはその他の省電力、小型化が必要な回路に最適です。ピンコンパチブルの10ビットADCについては、MAX157及びMAX159を参照して下さい。

アプリケーション

| | |
|--------------|--------|
| バッテリー駆動機器 | 計測器 |
| ポータブルデータロギング | 試験機器 |
| 絶縁データ収集 | 医療機器 |
| プロセス制御監視 | システム監視 |

ピン配置



SPI及びQSPIはMotorola, Inc.の商標です。
MICROWIREはNational Semiconductor Corp.の商標です。

特長

- ◆ 単一電源：+2.7V~+5.25V
- ◆ 2つのシングルエンドチャンネル(MAX144)
1つの疑似差動チャンネル(MAX145)
- ◆ 低電力：
 - 0.9mA(108ksps、+3V電源)
 - 100 μ A(10ksps、+3V電源)
 - 10 μ A(1ksps、+3V電源)
 - 0.2 μ A(パワーダウンモード)
- ◆ 内部トラック/ホールド
- ◆ サンプリングレート：108ksps
- ◆ 3線シリアルインタフェース：
SPI/QSPI/MICROWIREコンパチブル
- ◆ パッケージ：省スペースの8ピン μ MAX
- ◆ ピンコンパチブルの10ビットバージョンも供給

型番

| PART | TEMP. RANGE | PIN-PACKAGE | INL (LSB) |
|------------|-----------------|---------------|-----------|
| MAX144ACUA | 0°C to +70°C | 8 μ MAX | ± 0.5 |
| MAX144BCUA | 0°C to +70°C | 8 μ MAX | ± 1 |
| MAX144ACPA | 0°C to +70°C | 8 Plastic DIP | ± 0.5 |
| MAX144BCPA | 0°C to +70°C | 8 Plastic DIP | ± 1 |
| MAX144BC/D | 0°C to +70°C | Dice* | ± 1 |
| MAX144AEUA | -40°C to +85°C | 8 μ MAX | ± 0.5 |
| MAX144BEUA | -40°C to +85°C | 8 μ MAX | ± 1 |
| MAX144AEPA | -40°C to +85°C | 8 Plastic DIP | ± 0.5 |
| MAX144BEPA | -40°C to +85°C | 8 Plastic DIP | ± 1 |
| MAX144AMJA | -55°C to +125°C | 8 CERDIP** | ± 0.5 |
| MAX144BMJA | -55°C to +125°C | 8 CERDIP** | ± 1 |
| MAX145ACUA | 0°C to +70°C | 8 μ MAX | ± 0.5 |
| MAX145BCUA | 0°C to +70°C | 8 μ MAX | ± 1 |
| MAX145ACPA | 0°C to +70°C | 8 Plastic DIP | ± 0.5 |
| MAX145BCPA | 0°C to +70°C | 8 Plastic DIP | ± 1 |
| MAX145BC/D | 0°C to +70°C | Dice* | ± 1 |
| MAX145AEUA | -40°C to +85°C | 8 μ MAX | ± 0.5 |
| MAX145BEUA | -40°C to +85°C | 8 μ MAX | ± 1 |
| MAX145AEPA | -40°C to +85°C | 8 Plastic DIP | ± 0.5 |
| MAX145BEPA | -40°C to +85°C | 8 Plastic DIP | ± 1 |
| MAX145AMJA | -55°C to +125°C | 8 CERDIP** | ± 0.5 |
| MAX145BMJA | -55°C to +125°C | 8 CERDIP** | ± 1 |

*Dice are specified at $T_A = +25^\circ\text{C}$, DC parameters only.

**Contact factory for availability.

+2.7V、低電力、2チャンネル、108ksps シリアル12ビットADC、8ピン μ MAXパッケージ

ABSOLUTE MAXIMUM RATINGS

| | | | |
|---|-----------------------------|--|-----------------|
| V_{DD} to GND | -0.3V to +6V | Plastic DIP (derate 9.09mW/°C above +70°C) | 727mW |
| CH0, CH1 (CH+, CH-) to GND | -0.3V to (V_{DD} + 0.3V) | CERDIP (derate 8.00mW/°C above +70°C) | 640mW |
| REF to GND | -0.3V to (V_{DD} + 0.3V) | Operating Temperature Ranges (T_A) | |
| Digital Inputs to GND. | -0.3V to +6V | MAX144/MAX145_C_A | 0°C to +70°C |
| DOU to GND..... | -0.3V to (V_{DD} + 0.3V) | MAX144/MAX145_E_A. | -40°C to +85°C |
| DOUT Sink Current | 25mA | MAX144/MAX145_M_A | -55°C to +125°C |
| Continuous Power Dissipation (T_A = +70°C) | | Storage Temperature Range | -65°C to +150°C |
| μ MAX (derate 4.1mW/°C above +70°C) | 330mW | Lead Temperature (soldering, 10sec) | +300°C |

Stresses beyond those listed under "Absolute Maximum Ratings" may cause permanent damage to the device. These are stress ratings only, and functional operation of the device at these or any other conditions beyond those indicated in the operational sections of the specifications is not implied. Exposure to absolute maximum rating conditions for extended periods may affect device reliability.

ELECTRICAL CHARACTERISTICS

(V_{DD} = +2.7V to +5.25V, V_{REF} = 2.5V, 0.1 μ F capacitor at REF, f_{SCLK} = 2.17MHz, 16 clocks/conversion cycle (108ksps), CH- = GND for MAX145, T_A = T_{MIN} to T_{MAX} , unless otherwise noted. Typical values are at T_A = +25°C.)

| PARAMETER | SYMBOL | CONDITIONS | MIN | TYP | MAX | UNITS |
|--|------------|--|-----|------------|------------|---------|
| DC ACCURACY (Note 1) | | | | | | |
| Resolution | RES | | 12 | | | Bits |
| Relative Accuracy (Note 2) | INL | MAX14_A | | | ± 0.5 | LSB |
| | | MAX14_B | | | ± 1 | |
| Differential Nonlinearity | DNL | No missing codes over temperature | | | ± 0.75 | LSB |
| Offset Error | | | | | ± 3 | LSB |
| Gain Error (Note 3) | | | | | ± 3 | LSB |
| Gain Temperature Coefficient | | | | ± 0.8 | | ppm/°C |
| Channel-to-Channel Offset Matching | | | | ± 0.05 | | LSB |
| Channel-to-Channel Gain Matching | | | | ± 0.05 | | LSB |
| DYNAMIC SPECIFICATIONS ($f_{IN(\text{sine-wave})}$ = 10kHz, V_{IN} = 2.5Vp-p, 108ksps, f_{SCLK} = 2.17MHz, CH- = GND for MAX145) | | | | | | |
| Signal-to-Noise Plus Distortion Ratio | SINAD | | 70 | | | dB |
| Total Harmonic Distortion (including 5th-order harmonic) | THD | | | | -80 | dB |
| Spurious-Free Dynamic Range | SFDR | | 80 | | | dB |
| Channel-to-Channel Crosstalk | | f_{IN} = 65kHz, V_{IN} = 2.5Vp-p (Note 4) | | -85 | | dB |
| Small-Signal Bandwidth | | -3dB rolloff | | 2.25 | | MHz |
| Full-Power Bandwidth | | | | 1.0 | | MHz |
| CONVERSION RATE | | | | | | |
| Conversion Time (Note 5) | t_{CONV} | External clock, f_{SCLK} = 2.17MHz, 16 clocks/conversion cycle | 7.4 | | | μ s |
| | | Internal clock | 5 | 7 | | |
| T/H Acquisition Time | t_{ACQ} | | | | 2.5 | μ s |
| Aperture Delay | | | | 25 | | ns |
| Aperture Jitter | | | | <50 | | ps |
| Serial Clock Frequency | f_{SCLK} | External clock mode | 0.1 | | 2.17 | MHz |
| | | Internal clock mode, for data transfer only | 0 | | 5 | |

+2.7V、低電力、2チャンネル、108ksps シリアル12ビットADC、8ピンμMAXパッケージ

MAX144/MAX145

ELECTRICAL CHARACTERISTICS (continued)

($V_{DD} = +2.7V$ to $+5.25V$, $V_{REF} = 2.5V$, $0.1\mu F$ capacitor at REF, $f_{SCLK} = 2.17MHz$, 16 clocks/conversion cycle (108ksps), CH- = GND for MAX145, $T_A = T_{MIN}$ to T_{MAX} , unless otherwise noted. Typical values are at $T_A = +25^\circ C$.)

| PARAMETER | SYMBOL | CONDITIONS | MIN | TYP | MAX | UNITS |
|---|-----------|---|----------------|------------|-----------------|-----------|
| ANALOG INPUTS | | | | | | |
| Analog Input Voltage Range (Note 6) | V_{IN} | | 0 | | V_{REF} | V |
| Multiplexer Leakage Current | | On/off leakage current, $V_{IN} = 0$ to V_{DD} | | ± 0.01 | ± 1 | μA |
| Input Capacitance | C_{IN} | | | 16 | | pF |
| EXTERNAL REFERENCE | | | | | | |
| Input Voltage Range (Note 7) | V_{REF} | | 0 | | $V_{DD} + 50mV$ | V |
| Input Current | | $V_{REF} = 2.5V$ | | 100 | 140 | μA |
| Input Resistance | | | 18 | 25 | | $k\Omega$ |
| Shutdown REF Input Current | | | | 0.01 | 10 | μA |
| DIGITAL INPUTS ($\overline{CS}/SHDN$) AND OUTPUT (DOUT) | | | | | | |
| Input High Voltage | V_{IH} | $V_{DD} \leq 3.6V$ | 2.0 | | | V |
| | | $V_{DD} > 3.6V$ | 3.0 | | | |
| Input Low Voltage | V_{IL} | | | | 0.8 | V |
| Input Hysteresis | V_{HYS} | | | 0.2 | | V |
| Input Leakage Current | I_{IN} | $V_{IN} = 0$ or V_{DD} | | | ± 1 | μA |
| Input Capacitance | C_{IN} | (Note 8) | | | 15 | pF |
| Output Low Voltage | V_{OL} | $I_{SINK} = 5mA$ | | | 0.4 | V |
| | | $I_{SINK} = 16mA$ | | 0.5 | | |
| Output High Voltage | V_{OH} | $I_{SOURCE} = 0.5mA$ | $V_{DD} - 0.5$ | | | V |
| Three-State Output Leakage Current | | $\overline{CS}/SHDN = V_{DD}$ | | | ± 10 | μA |
| Three-State Output Capacitance | C_{OUT} | $\overline{CS}/SHDN = V_{DD}$ (Note 8) | | | 15 | pF |
| POWER REQUIREMENTS | | | | | | |
| Positive Supply Voltage | V_{DD} | | 2.7 | | 5.25 | V |
| Positive Supply Current | I_{DD} | Operating mode | | 0.9 | 2.0 | mA |
| | | Shutdown, $\overline{CS}/SHDN = GND$ | | 0.2 | 5 | μA |
| Power-Supply Rejection (Note 9) | PSR | $V_{DD} = 2.7V$ to $5.25V$, $V_{REF} = 2.5V$, full-scale input | | ± 0.15 | | mV |

+2.7V、低電力、2チャンネル、108ksps シリアル12ビットADC、8ピン μ MAXパッケージ

MAX144/MAX145

TIMING CHARACTERISTICS (Figure 7)

($V_{DD} = +2.7V$ to $+5.25V$, $V_{REF} = 2.5V$, $0.1\mu F$ capacitor at REF, $f_{SCLK} = 2.17MHz$, 16 clocks/conversion cycle (108ksps), CH- = GND for MAX145, $T_A = T_{MIN}$ to T_{MAX} , unless otherwise noted. Typical values are at $T_A = +25^\circ C$.)

| PARAMETER | SYMBOL | CONDITIONS | MIN | TYP | MAX | UNITS |
|---|-------------|--|-----|-----|------|---------|
| Wake-Up Time (Note 10) | t_{WAKE} | | 2.5 | | | μs |
| $\overline{CS}/SHDN$ Fall to Output Enable | t_{DV} | $C_L = 100pF$ | | | 120 | ns |
| $\overline{CS}/SHDN$ Rise to Output Disable | t_{TR} | $C_L = 100pF$, Figure 1 | | | 120 | ns |
| SCLK Fall to Output Data Valid | t_{DO} | $C_L = 100pF$, Figure 1 | 20 | | 120 | ns |
| SCLK Clock Frequency | f_{SCLK} | External clock | 0.1 | | 2.17 | MHz |
| | | Internal clock, SCLK for data transfer only | 0 | | 5 | |
| SCLK Pulse Width High | t_{CH} | External clock | 215 | | | ns |
| | | Internal clock, SCLK for data transfer only (Note 8) | 50 | | | |
| SCLK Pulse Width Low | t_{CL} | External clock | 215 | | | ns |
| | | Internal clock, SCLK for data transfer only (Note 8) | 50 | | | |
| SCLK to $\overline{CS}/SHDN$ Setup | t_{SCLKS} | | 60 | | | ns |
| $\overline{CS}/SHDN$ Pulse Width | t_{CS} | | 60 | | | ns |

Note 1: Tested at $V_{DD} = +2.7V$.

Note 2: Relative accuracy is the deviation of the analog value at any code from its theoretical value after full-scale range has been calibrated.

Note 3: Offset nulled.

Note 4: "On" channel is grounded; sine wave applied to "off" channel (MAX144 only).

Note 5: Conversion time is defined as the number of clock cycles times the clock period; clock has 50% duty cycle.

Note 6: The common-mode range for the analog inputs is from GND to V_{DD} (MAX145 only).

Note 7: ADC performance is limited by the converter's noise floor, typically $300\mu Vp-p$.

Note 8: Guaranteed by design. Not subject to production testing.

Note 9: Measured as $V_{FS(2.7V)} - V_{FS(5.25V)}$.

Note 10: SCLK must remain stable during this time.

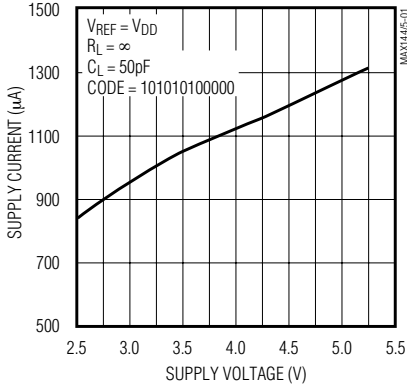
+2.7V、低電力、2チャンネル、108ksps シリアル12ビットADC、8ピン μ MAXパッケージ

MAX144/MAX145

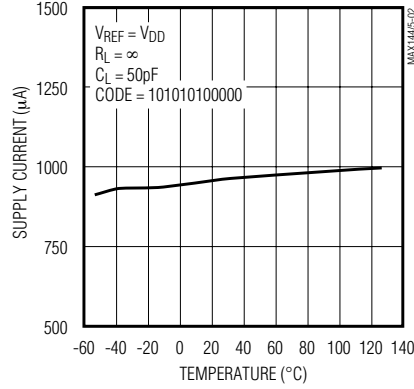
標準動作特性

($V_{DD} = +3.0V$, $V_{REF} = 2.5V$, $0.1\mu F$ at REF, $f_{SCLK} = 2.17MHz$, 16 clocks/conversion cycle (108ksps), CH- = GND for MAX145, $T_A = +25^\circ C$, unless otherwise noted.)

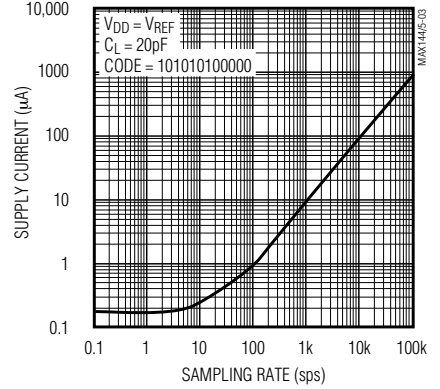
SUPPLY CURRENT vs. SUPPLY VOLTAGE



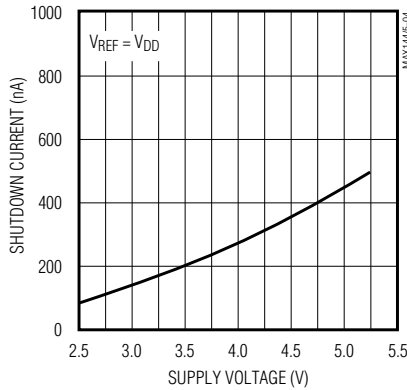
SUPPLY CURRENT vs. TEMPERATURE



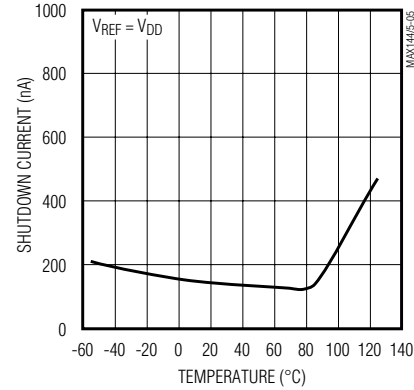
SUPPLY CURRENT vs. SAMPLING RATE



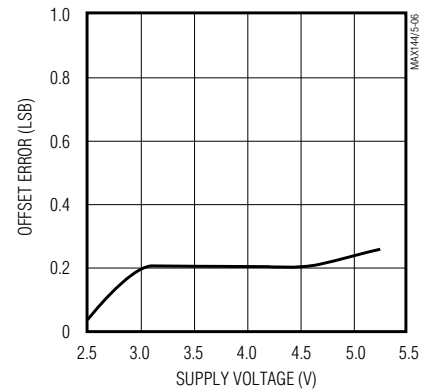
SHUTDOWN CURRENT vs. SUPPLY VOLTAGE



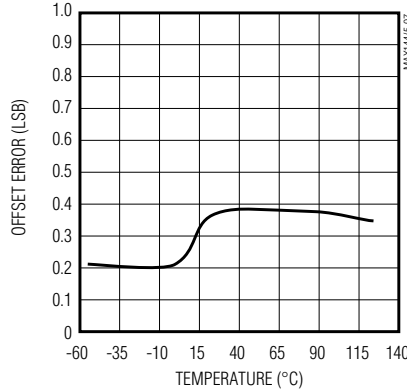
SHUTDOWN CURRENT vs. TEMPERATURE



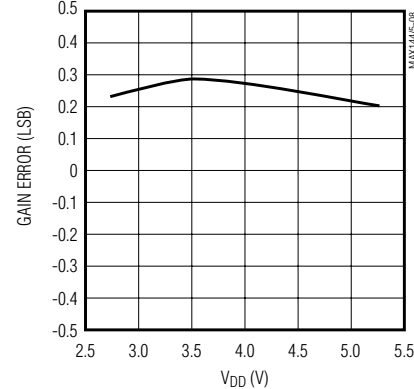
OFFSET ERROR vs. SUPPLY VOLTAGE



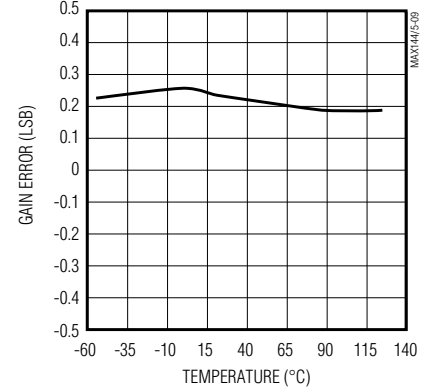
OFFSET ERROR vs. TEMPERATURE



GAIN ERROR vs. SUPPLY VOLTAGE



GAIN ERROR vs. TEMPERATURE

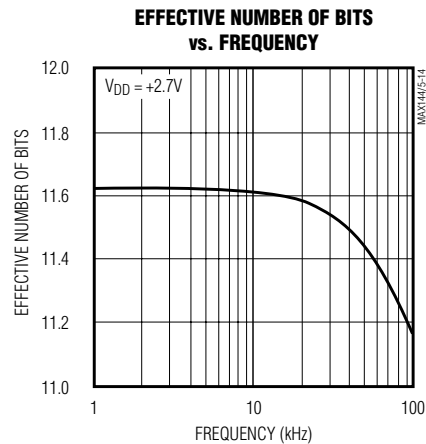
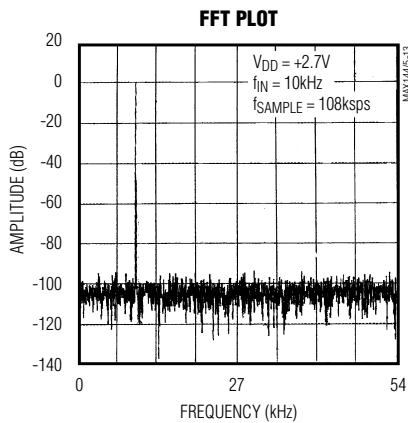
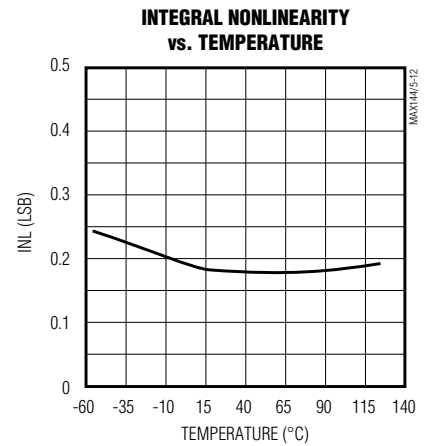
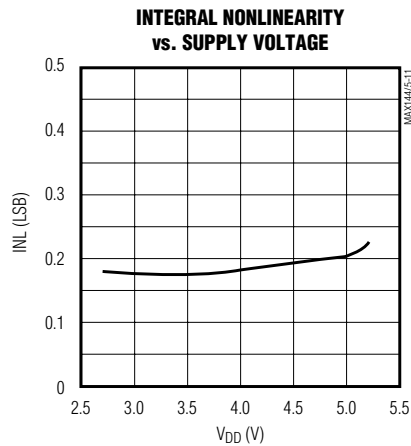
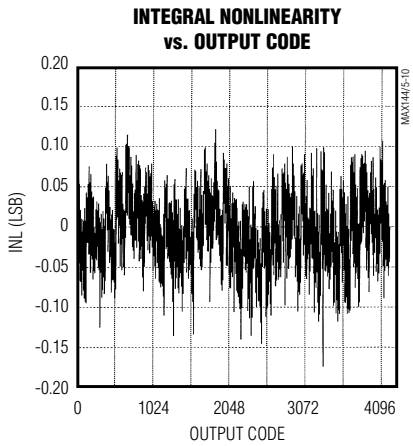


+2.7V、低電力、2チャンネル、108ksps シリアル12ビットADC、8ピン μ MAXパッケージ

MAX144/MAX145

標準動作特性(続き)

($V_{DD} = +3.0V$, $V_{REF} = 2.5V$, $0.1\mu F$ at REF, $f_{SCLK} = 2.17MHz$, 16 clocks/conversion cycle (108ksps), CH- = GND for MAX145, $T_A = +25^\circ C$, unless otherwise noted.)



端子説明

| 端子 | 名称 | 機能 |
|----|----------------------|---|
| 1 | V_{DD} | 正電源電圧(+2.7V ~ +5.25V) |
| 2 | CH0 (CH+) | アナログ入力: MAX144 = シングルエンド(CH0); MAX145 = 差動(CH+) |
| 3 | CH1 (CH-) | アナログ入力: MAX144 = シングルエンド(CH1); MAX145 = 差動(CH-) |
| 4 | GND | アナログ及びデジタルグランド |
| 5 | REF | 外部リファレンス電圧入力。アナログ電圧範囲を設定します。ICピンの近くで $0.1\mu F$ コンデンサを使ってバイパスして下さい。 |
| 6 | $\overline{CS}/SHDN$ | アクティブローチップセレクト入力/アクティブハイシャットダウン入力。 $\overline{CS}/SHDN$ をハイに引き上げると、デバイスはシャットダウン(最大電流 $5\mu A$)になります。 |
| 7 | DOUT | シリアルデータ出力。データはSCLKの立下がりエッジで変化します。 $\overline{CS}/SHDN$ がハイの時ハイインピーダンスになります。 |
| 8 | SCLK | シリアルクロック入力。DOUTはSCLKの立下がりエッジで変化します。 |

+2.7V、低電力、2チャンネル、108ksps シリアル12ビットADC、8ピン μ MAXパッケージ



図1. イネーブル及びディセーブル時間の負荷回路

詳細

MAX144/MAX145 A/Dコンバータ(ADC)は、逐次比較変換(SAR)技法と内蔵トラックアンドホールド(T/H)構造を用いてアナログ信号をシリアル12ビットデジタル出力データストリームに変換します。

このフレキシブルなシリアルインタフェースにより、マイクロプロセッサ(μ P)へのインタフェースが簡単になっています。図2にMAX144(2チャンネル、シングルエンド)及びMAX145(1チャンネル、疑似差動)の内部構造の簡略化ファンクションダイアグラムを示します。

アナログ入力：シングルエンド(MAX144)及び疑似差動(MAX145)

ADCのアナログコンパレータのサンプリング構造を図3の等価入力回路に示します。シングルエンドモード(MAX144)においては、CH0及びCH1の両方のチャンネルがGNDを基準としており、2つの異なる信号ソースに接続することができます。パワーオンリセットの後、ADCはCH0を変換するように設定されます。CH0が変換されると次にCH1が変換され、その後両チャンネル間で交互に変換が続けられます。チャンネルの切り換えは $\overline{CS}/\text{SHDN}$ ピンをトグルすることによって行われます。変換と変換の間で $\overline{CS}/\text{SHDN}$ を2回トグルすることで、同じチャンネルで変換を行うことができます。一方のチャンネルのみを使用する場合、CH0とCH1をまとめて接続することができますが、その場合でも出力データは(MSBの前に)チャンネル識別ビットを含みます。

MAX145の場合、入力チャンネルは単一の差動チャンネルペア(CH+, CH-)を形成します。この構成は、IN+の信号のみがサンプリングされるため、疑似差動と呼んでいます。リターン側のIN-は変換中にGNDの ± 0.5 LSB(最良の結果を得るためには ± 0.1 LSB)以内で安定している必要があります。これを実現するためには、IN-とGNDの間に $0.1\mu\text{F}$ のコンデンサを接続して下さい。

アキュイジション期間中、正入力(IN+)として選択されたチャンネルがコンデンサ C_{HOLD} を充電します。アキュイジション期間は $\overline{CS}/\text{SHDN}$ が下がる時から2番目のクロックサイクルの立下がりエッジ(外部クロックモード)まで、あるいは $\overline{CS}/\text{SHDN}$ が下がる時から1番目のクロックサイクルの立下がりエッジ(内部クロックモード)までです。

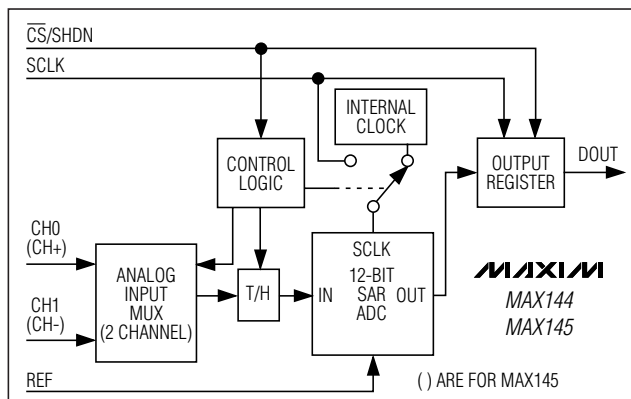


図2. 簡略化ファンクションダイアグラム

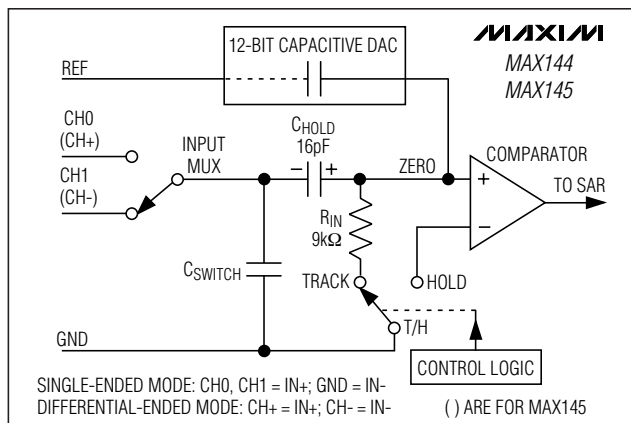


図3. アナログ入力チャンネルの構造

アキュイジション期間の終了時にT/Hスイッチが開き、IN+の信号のサンプルとして C_{HOLD} の電荷を保持します。

変換期間は、入力マルチプレクサが C_{HOLD} を正入力(IN+)から負入力(IN-)に切り換えた時に始まります。これにより、コンパレータの正入力のノードZEROが不平衡になります。

コンデンサを用いたD/Aコンバータ(DAC)が、変換サイクルの残りの時間で、ノードZEROを12ビット分解能の制限範囲で0Vに調節します。この動作は、 $16\text{pF} \cdot [(V_{\text{IN}+}) - (V_{\text{IN}-})]$ の電荷を C_{HOLD} からバイナリ重み付のコンデンサを用いたDACに移すのと等価であり、この結果、アナログ入力信号のデジタル表示が生成されます。

+2.7V、低電力、2チャンネル、108ksps シリアル12ビットADC、8ピン μ MAXパッケージ

内部クロック($f_{SCLK} < 100\text{kHz}$ 又は $f_{SCLK} > 2.17\text{MHz}$)
内部クロックモードにおいては、MAX144/MAX145は内部のレーザトリミングされた発振器によって、仕様クロックレート2MHzの20%以内で動作します。この結果、システムマイクロプロセッサはSAR変換クロックを動作させる役割から解放され、変換結果はプロセッサの都合のよい時に、0~5MHzの任意のクロックレートで読取ることができます。100kHz未満又は2.17MHz以上のクロック周波数で動作するシリアルインタフェースに対しては、MAX144/MAX145を内部クロックモードで動作させる必要があります。内部クロックモード(図5)を選択するには、 $\overline{CS}/\text{SHDN}$ のハイ/ロー遷移の時にSCLKをハイに保持して下さい。最初のSCLKの立下がりエッジがデータをサンプリングし、内部発振器を使って変換を開始します。変換の後、発振器はシャットオフし、DOUTがハイになって変換終了(EOC)を知らせます。ここでSCLKを使ってデータを読取ることができます。

変換を完了する必要があります。外部クロックモードは、100kHz~2.17MHzの範囲のクロック周波数において最良のスループットを達成します。

出力データフォーマット

表1に、MAX144及びMAX145の16ビットシリアルデータストリーム出力を示します。最初の3ビットは常にロジックハイ(内部クロックモードのEOCビットを含む)で、その後にチャンネル識別(CH0ならCHID=0、CH1ならCHID=1、MAX145なら、CHID=1)、そして12ビットのデータがMSBを先頭とするフォーマットで続きます。最後のビットが読取られた後のSCLKパルスではゼロの列が同期出力されます。DOUTはSCLKの立下がりエッジで遷移します。 $\overline{CS}/\text{SHDN}$ がハイの時、出力はハイインピーダンスに留まります。

外部クロック($f_{SCLK} = 100\text{kHz} \sim 2.17\text{MHz}$)

SCLKがローの時に $\overline{CS}/\text{SHDN}$ がハイからローに遷移すると、外部クロックモード(図6)が選択されます。外部クロック信号は、データをシフトアウトするだけでなく、アナログデジタル変換の駆動も行います。2番目のクロックパルスの立下がりエッジで入力サンプリングされて変換が開始されます。T/Hコンデンサの放電で変換結果が劣化するのを防ぐためには、140 μ s以内に

外部リファレンス

MAX144とMAX145はいずれも外部リファレンスを必要とします。REFにおける最小DC入力抵抗は18kです。変換時のリファレンスは、250 μ AのDC負荷電流を供給できなければならず、出力インピーダンスは10以下でなければなりません。最高の性能を得るためには0.1 μ Fのバイパスコンデンサを使用して下さい。リファレンス入力構造は0~ $V_{DD} + 50\text{mV}$ の電圧範囲を許容しますが、リファレンス電圧が低い場合、ノイズレベルにより実効分解能が低下します。

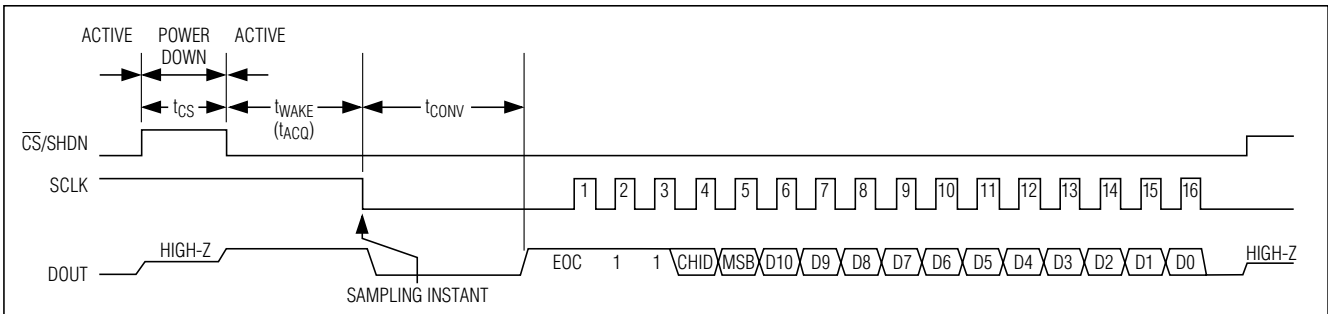


図5. 内部クロックモードのタイミング

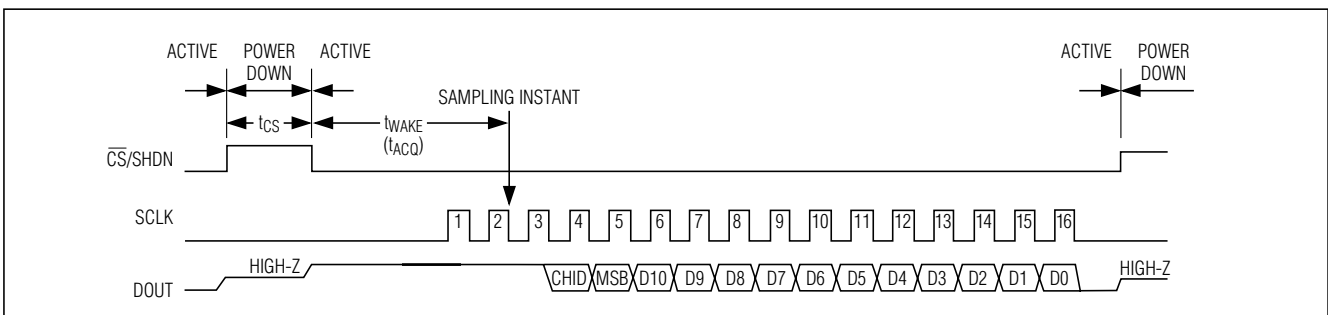


図6. 外部クロックモードのタイミング

+2.7V、低電力、2チャンネル、108ksp/s シリアル12ビットADC、8ピンµMAXパッケージ

表1. 内部及び外部クロックモードにおけるシリアル出力データストリーム

| SCLK CYCLE | 1 | 2 | 3 | 4 | 5 | 6 | 7 | 8 | 9 | 10 | 11 | 12 | 13 | 14 | 15 | 16 |
|-----------------------|-----|---|---|------|-----|-----|----|----|----|----|----|----|----|----|----|----|
| DOUT (Internal Clock) | EOC | 1 | 1 | CHID | D11 | D10 | D9 | D8 | D7 | D6 | D5 | D4 | D3 | D2 | D1 | D0 |
| DOUT (External Clock) | 1 | 1 | 1 | CHID | D11 | D10 | D9 | D8 | D7 | D6 | D5 | D4 | D3 | D2 | D1 | D0 |

自動パワーダウンモード

MAX144/MAX145は、選択されていない時($\overline{CS}/SHDN = V_{DD}$)にはシャットダウンモードに入ります。シャットダウンモードにおいては、全ての内部回路がターンオフし、消費電流を0.2µA以下(typ)に低減します。外部リファレンスが1LSB以内で安定している時、ウェイクアップ時間は2.5µsです。外部リファレンスが1LSB以内で安定していない場合、リファレンスが安定するまでウェイクアップ時間を延長する必要があります。

アプリケーション情報

信号対雑音比(SNR)

デジタルサンプルから完全に再構築された波形の場合、理論的最大SNRはフルスケールアナログ入力(RMS値)とRMS数値化エラー(残留エラー)の比となります。理想的な最小アナログデジタルノイズは数値化エラーのみに起因し、ADCの分解能(Nビット)によって直接決まります。

$$SNR_{(MAX)} = (6.02 \cdot N + 1.76) \text{dB}$$

現実には、数値化ノイズの他にもサーマルノイズ、リファレンスノイズ、クロックジッタ等のノイズソースがあります。ですから、SNRを計算する時はRMS信号とRMSノイズの比をとります。後者は基本波、最初の5つの高調波及びDCオフセットを除く全てのスペクトル成分を含みます。

信号雑音+歪み(SINAD)

SINADは基本入力周波数のRMS振幅とその他全てのADC出力信号と等価のRMS値の比です。

$$SINAD(\text{dB}) = 20 \cdot \log \left[\frac{\text{信号}_{\text{RMS}}}{(\text{ノイズ} + \text{歪み})_{\text{RMS}}} \right]$$

実効ビット数(ENOB)

ENOBは特定の入力周波数及びサンプリングレートにおけるADCの包括的な精度です。理想的なADCの誤差は数値化ノイズのみからなっています。入力範囲がADCのフルスケール範囲に等しい場合、実効ビット数は次式で計算できます。

$$ENOB = (SINAD - 1.76)/6.02$$

全高調波歪み(THD)

THDは入力信号の最初の5つの高調波のRMS和と基本波そのものの比です。これは次式で表されます。

$$THD = 20 \cdot \log \left(\frac{\sqrt{V_2^2 + V_3^2 + V_4^2 + V_5^2}}{V_1} \right)$$

ここで、 V_1 は基本波の振幅、 $V_2 \sim V_5$ は2次～5次高調波の振幅です。

スプリアスフリーダイナミックレンジ(SFDR)

SFDRは基本波(最大信号成分)と次に大きなスプリアス成分(DCオフセットを除く)のRMS値の比です。

標準インタフェースへの接続

MAX144/MAX145のインタフェースはSPI、QSPI及びMICROWIRE標準シリアルインタフェースと完全にコンパチブルです。

シリアルインタフェースが使用できる場合は、CPUのシリアルインタフェースをマスターにすることにより、CPUがMAX144/MAX145のシリアルクロックを生成するようにして下さい。クロック周波数は100kHz～2.17MHz(外部クロックモード)の範囲で選択して下さい。

- 1) SCLKがローの時に、CPUの汎用I/Oラインを使用して $\overline{CS}/SHDN$ をローに引き下げます。
- 2) 仕様の最小ウェイクアップ時間(t_{WAKE})だけ待ってから、SCLKを起動します。
- 3) 少なくとも16クロックサイクルの間SCLKを起動します。先頭の3つの1、チャンネル識別及び数値化された入力信号のMSBからなるシリアルデータストリームがクロックの最初の立下がりエッジで開始されます。DOUTはSCLKの立下がりエッジで遷移し、MSBを先頭とするフォーマットで読むことができます。SCLKからDOUT有効までのタイミング特性を観察します。データはSCLKの立上がりエッジでµPに同期入力する必要があります。
- 4) 16番目のクロック立下がりエッジあるいはその後で $\overline{CS}/SHDN$ をハイに引き上げます。 $\overline{CS}/SHDN$ がローに留まると、LSBの後でゼロの列が同期出力されます。

+2.7V、低電力、2チャンネル、108ksps シリアル12ビットADC、8ピン μ MAXパッケージ

5) $\overline{\text{CS}}/\text{SHDN}$ がハイの状態、少なくとも60ns(t_{CS})待ってから $\overline{\text{CS}}/\text{SHDN}$ をローに引き下げて新しい変換を始めます。変換が終わる前に $\overline{\text{CS}}/\text{SHDN}$ をハイに引き上げることによって変換を中止することができます。新しい変換を始める前に少なくとも60ns待ちます。

データは2つの8ビットシーケンスとして、あるいは連続的に出力することができます。変換結果は3つの1及びチャンネル識別がMSBの前に入った形で出力されます。最後のLSBの後でシリアルクロックがアイドル状態にならず、 $\overline{\text{CS}}/\text{SHDN}$ がローに維持されると、DOUTはゼロの列を送り出します。

SPI及びMICROWIREインタフェース

SPI(図8a)又はMICROWIRE(図8b)を使用する場合は、CPOL = 0及びCPHA = 0に設定して下さい。変換は、 $\overline{\text{CS}}/\text{SHDN}$ の立下がりエッジで開始されます(図8c)。ADCから完全な12ビットを取り出すには、2つの連続した8ビット読取り動作が必要です。DOUTの出力データは、シリアルの立下がりエッジで遷移し、SCLKの立上がりエッジで μP に同期入力されます。最初の8ビットデータストリームは先頭の3つの1、チャンネル識別及びMSBで始まる最初の4つのデータビットを含んでいます。2番目の8ビットデータストリームには、残りのビットD7~D0が含まれています。

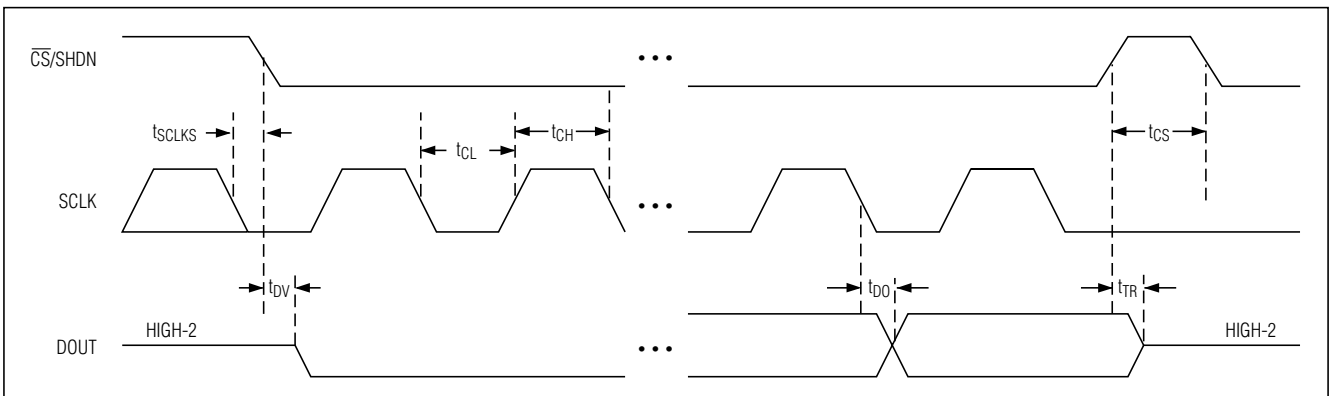


図7. シリアルインタフェースのタイミングシーケンスの詳細

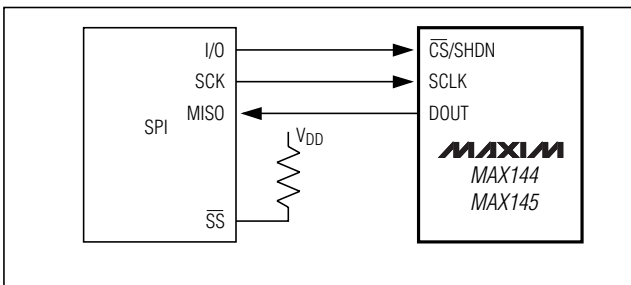


図8a. SPIの接続

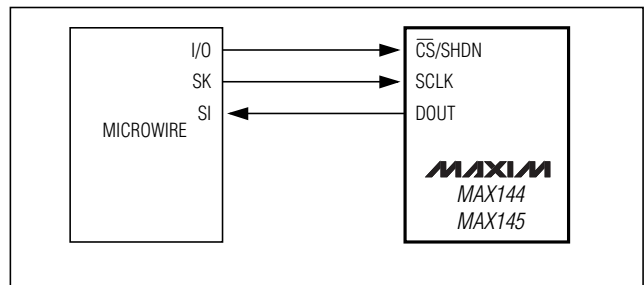


図8b. MICROWIREの接続

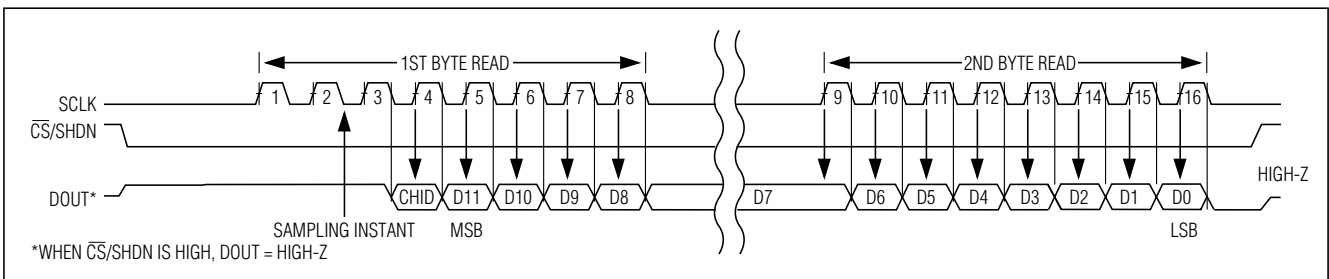


図8c. SPI/MICROWIREのインタフェースタイミングシーケンス(CPOL = CPHA = 0)

+2.7V、低電力、2チャンネル、108ksps シリアル12ビットADC、8ピン μ MAXパッケージ

QSPIインタフェース

CPOL = CPHA = 0で高速QSPIインタフェースを使う場合、MAX144/MAX145は最大 f_{SCLK} として2.17MHzを満足します。図9aのQSPI回路はMAX144の2つのチャンネルの各々で変換を行うように設定することができます。図9bにQSPIのインタフェースタイミングを示します。

SSPモジュール付のPIC16及びPIC17との インタフェース

MAX144/MAX145は、同期シリアルポート(SSP)モジュールを使ったPIC16/PIC17コントローラ(μ C)とコンパチブルです。

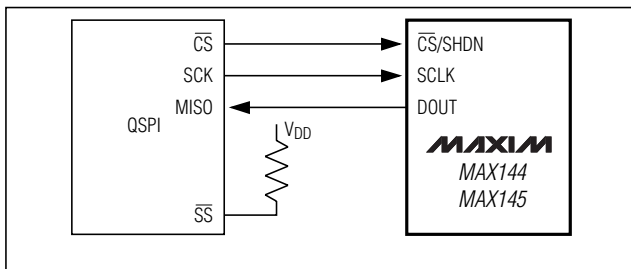


図9a. QSPIの接続

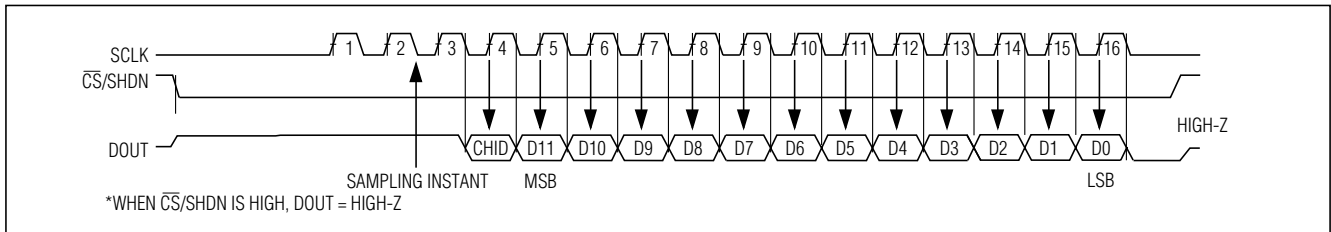


図9b. QSPIインタフェースのタイミングシーケンス(CPOL = CPHA = 0)

表2. SSPCONレジスタの内容の詳細

| CONTROL BIT | | MAX144/MAX145 SETTINGS | SYNCHRONOUS SERIAL-PORT CONTROL REGISTER (SSPCON) |
|-------------|------|------------------------|--|
| WCOL | BIT7 | X | Write Collision Detection Bit |
| SSPOV | BIT6 | X | Receive Overflow Detect Bit |
| SSPEN | BIT5 | 1 | Synchronous Serial-Port Enable Bit. 0: Disables serial port and configures these pins as I/O port pins. 1: Enables serial port and configures SCK, SDO and SCI pins as serial port pins. |
| CKP | BIT4 | 0 | Clock Polarity Select Bit. CKP = 0 for SPI master mode selection. |
| SSPM3 | BIT3 | 0 | Synchronous Serial-Port Mode Select Bit. Sets SPI master mode and selects $f_{CLK} = f_{OSC} / 16$. |
| SSPM2 | BIT2 | 0 | |
| SSPM1 | BIT1 | 0 | |
| SSPM0 | BIT0 | 1 | |

X=任意

SPI通信を確立するには、図10aに示すようにコントローラを接続し、システムマスターとしてPIC16/PIC17の同期シリアルポート制御レジスタ(SSPCON)と同期シリアルポート状態レジスタ(SSPSTAT)を表2及び表3に示すビットパターンに初期化することにより、PIC16/PIC17をシステムマスターとして設定して下さい。

SPIモードにおいては、PIC16/PIC17 μ Cは8ビットのデータを同期して送信し、同時に受信することができます。ADCからの12ビット結果を完全に得るためには、2つの連続した8ビット読み取り(図10b)が必要です。DOUTデータはシリアルクロックの立下がりエッジで遷移し、SCLKの立上がりエッジで μ Cに同期入力されます。最初の8ビットデータストリームは先頭の3つの1、チャンネル識別及びMSBで始まる最初の4つのデータビットを含んでいます。2番目の8ビットデータストリームは残りのビット(D7~D0)を含んでいます。

+2.7V、低電力、2チャンネル、108ksps シリアル12ビットADC、8ピン μ MAXパッケージ

表3. SSPSTATレジスタの内容の詳細

| CONTROL BIT | | MAX144/MAX145 SETTINGS | SYNCHRONOUS SERIAL-PORT STATUS REGISTER (SSPSTAT) |
|-------------|------|------------------------|---|
| SMP | BIT7 | 0 | SPI Data Input Sample Phase. Input data is sampled at the middle of the data output time. |
| CKE | BIT6 | 1 | SPI Clock Edge Select Bit. Data will be transmitted on the rising edge of the serial clock. |
| D/A | BIT5 | X | Data Address Bit |
| P | BIT4 | X | Stop Bit |
| S | BIT3 | X | Start Bit |
| R/W | BIT2 | X | Read/Write Bit Information |
| UA | BIT1 | X | Update Address |
| BF | BIT0 | X | Buffer Full Status Bit |

X=任意

レイアウト、グランド及びバイパス

最高の性能を得るためには、プリント回路基板(PCB)を使用して下さい。アナログトレースとデジタルトレースを分離したレイアウトが必要であるため、ワイヤラップボードは推奨できません。アナログとデジタルラインを互いに平行に走らせないで下さい。又、デジタル経路がADCパッケージの下に来ないようにして下さい。アナログとデジタルのPCBグランド部は別々にして、2つのグランドシステム(アナログとデジタル)がただ1つのスターポイント(図11)で接続されるようにして下さい。ノイズを排除するためにスターグランドの電源

へのグランドリターンはできるだけ短くし、また、低インピーダンスにして下さい。デジタル信号は敏感なアナログ及びリファレンス入力からできるだけ遠ざけて配線して下さい。

V_{DD} 電源内の高周波ノイズがADC内の高速コンパレータに影響を与える可能性があります。 V_{DD} は、0.1 μ F及び1 μ Fの並列コンデンサをMAX144/MAX145の電源ピンのできるだけ近くに配置してスターグランドにバイパスして下さい。最高の電源ノイズ除去比を得るには、コンデンサのリード線をできるだけ短くして下さい。電源のノイズが特に大きい場合は、減衰抵抗(10 Ω)を接続して下さい。

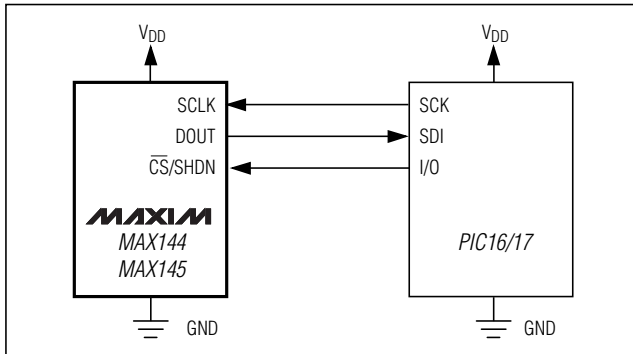


図10a. PIC16/PIC17コントローラ用のSPIインタフェースの接続

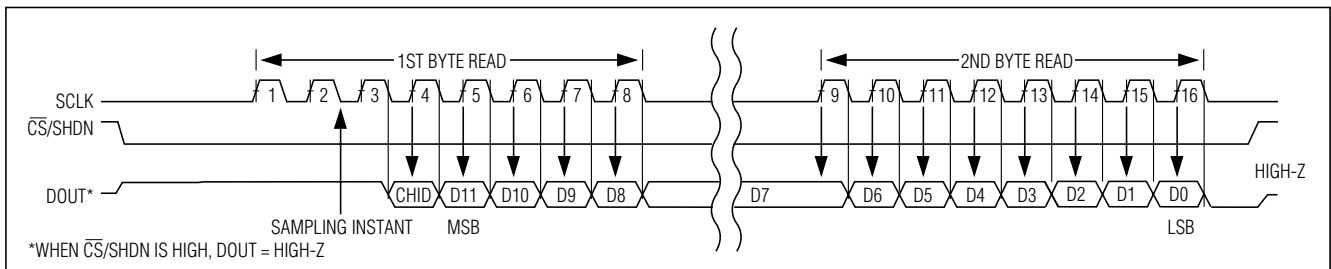


図10b. PIC16/PIC17がマスターモードの時のSPIインタフェースタイミング(CKE = 1、CKP = 0、SMP = 0、SSPM3 ~ SSPM0 = 0001)

+2.7V、低電力、2チャンネル、108ksps シリアル12ビットADC、8ピン μ MAXパッケージ

MAX144/MAX145

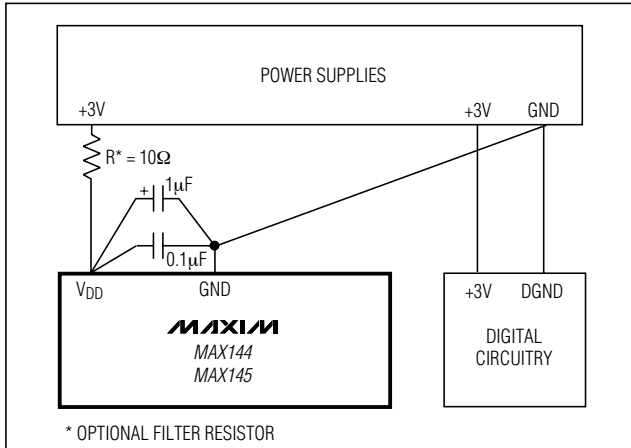


図11. 電源バイパス及びグラウンディング

チップ情報

TRANSISTOR COUNT: 2,058

SUBSTRATE CONNECTED TO GND

+2.7V、低電力、2チャンネル、108ksps シリアル12ビットADC、8ピン μ MAXパッケージ

パッケージ

MAX144/MAX145

| | INCHES | | MILLIMETERS | | JEDEC | | | |
|----------|--------|-------|-------------|------|--------|-------|------|------|
| | MIN | MAX | MIN | MAX | MIN | MAX | MIN | MAX |
| A | 0.037 | 0.043 | 0.94 | 1.10 | --- | 0.043 | --- | 1.10 |
| A1 | 0.002 | 0.006 | 0.05 | 0.15 | 0.002 | 0.006 | 0.05 | 0.15 |
| B | 0.010 | 0.014 | 0.25 | 0.36 | 0.010 | 0.016 | 0.25 | 0.40 |
| C | 0.005 | 0.007 | 0.13 | 0.18 | 0.005 | 0.009 | 0.13 | 0.23 |
| D | 0.116 | 0.120 | 2.95 | 3.05 | 0.114 | 0.122 | 2.9 | 3.1 |
| e | 0.0256 | BSC | 0.65 | BSC | 0.0256 | BSC | 0.64 | BSC |
| E | 0.116 | 0.120 | 2.95 | 3.05 | 0.114 | 0.122 | 2.9 | 3.1 |
| H | 0.188 | 0.198 | 4.78 | 5.03 | 0.193 | BSC | 4.9 | BSC |
| L | 0.016 | 0.026 | 0.41 | 0.66 | 0.016 | 0.027 | 0.40 | 0.70 |
| α | 0° | 6° | 0° | 6° | 0° | 6° | 0° | 6° |

NOTES:

- D&E DO NOT INCLUDE MOLD FLASH.
- MOLD FLASH OR PROTRUSIONS NOT TO EXCEED .15mm(.006").
- CONTROLLING DIMENSION: MILLIMETERS.
- MEETS JEDEC MO-187.

PROPRIETARY INFORMATION

TITLE:
8L μ MAX PACKAGE OUTLINE DWG.

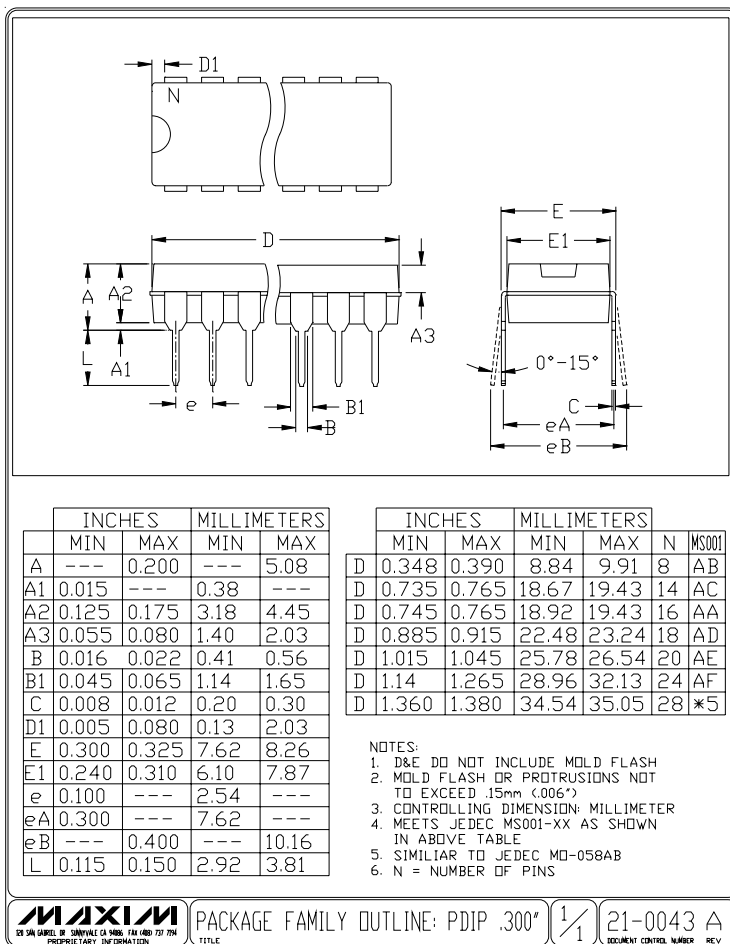
| | | | |
|----------|---------------------------------|----------|-----|
| APPROVAL | DOCUMENT CONTROL NO. 21-0036 | REV F | 1/1 |
|----------|---------------------------------|----------|-----|

8LUMAXD.EPS

+2.7V、低電力、2チャンネル、108ksp/s シリアル12ビットADC、8ピン μ MAXパッケージ

MAX144/MAX145

パッケージ(続き)



販売代理店

マキシム・ジャパン株式会社

〒169-0051 東京都新宿区西早稲田3-30-16(ホリゾン1ビル)
 TEL. (03)3232-6141 FAX. (03)3232-6149

マキシム社では全体がマキシム社製品で実現されている回路以外の回路の使用については責任を持ちません。回路特許ライセンスは明言されていません。マキシム社は随時予告なしに回路及び仕様を変更する権利を保留します。

16 **Maxim Integrated Products, 120 San Gabriel Drive, Sunnyvale, CA 94086 408-737-7600**